

Fig 1.20 Photoeffekt für Pb

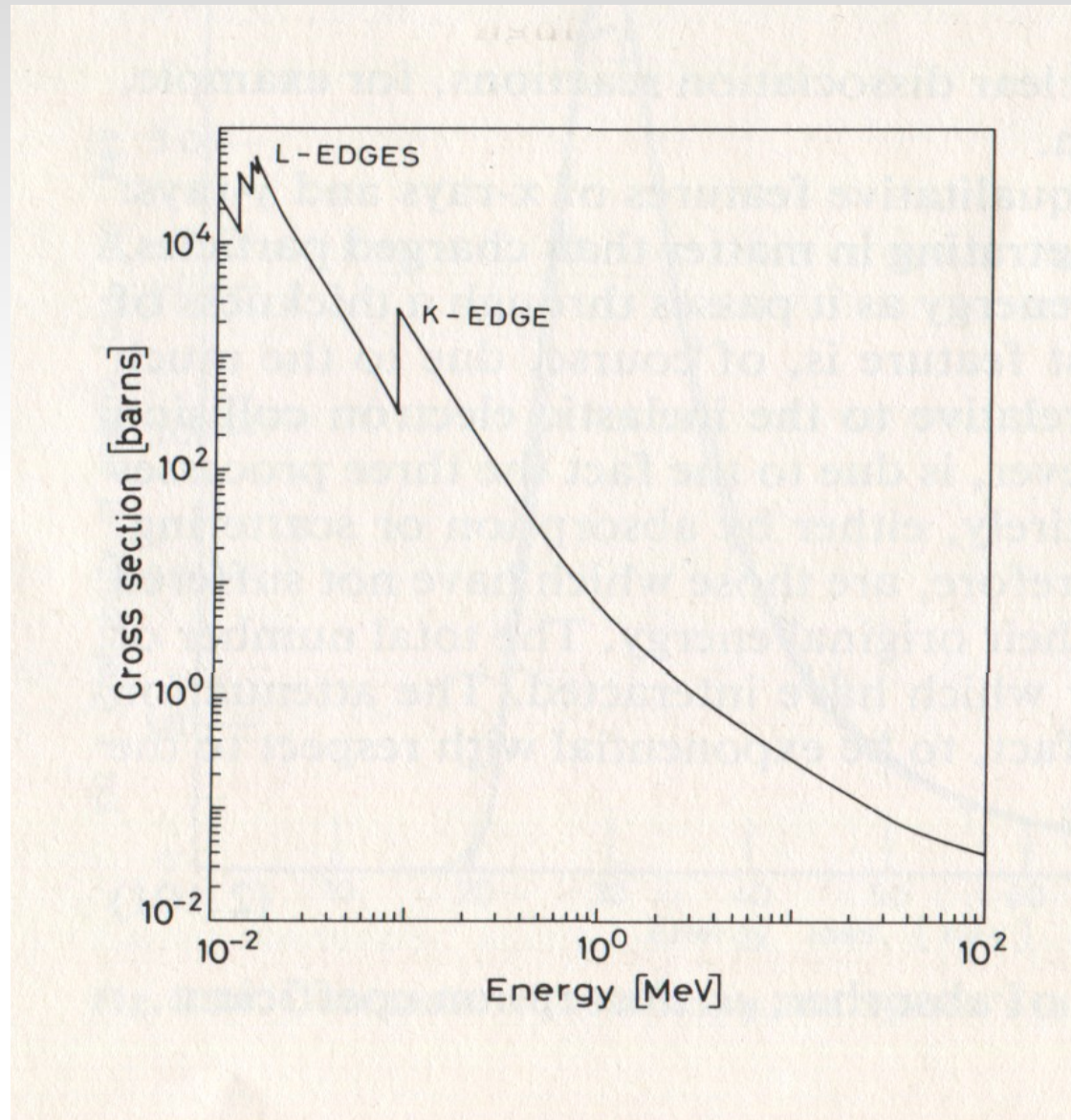


Fig 1.12: Winkelverteilung bei Compton-Streuung

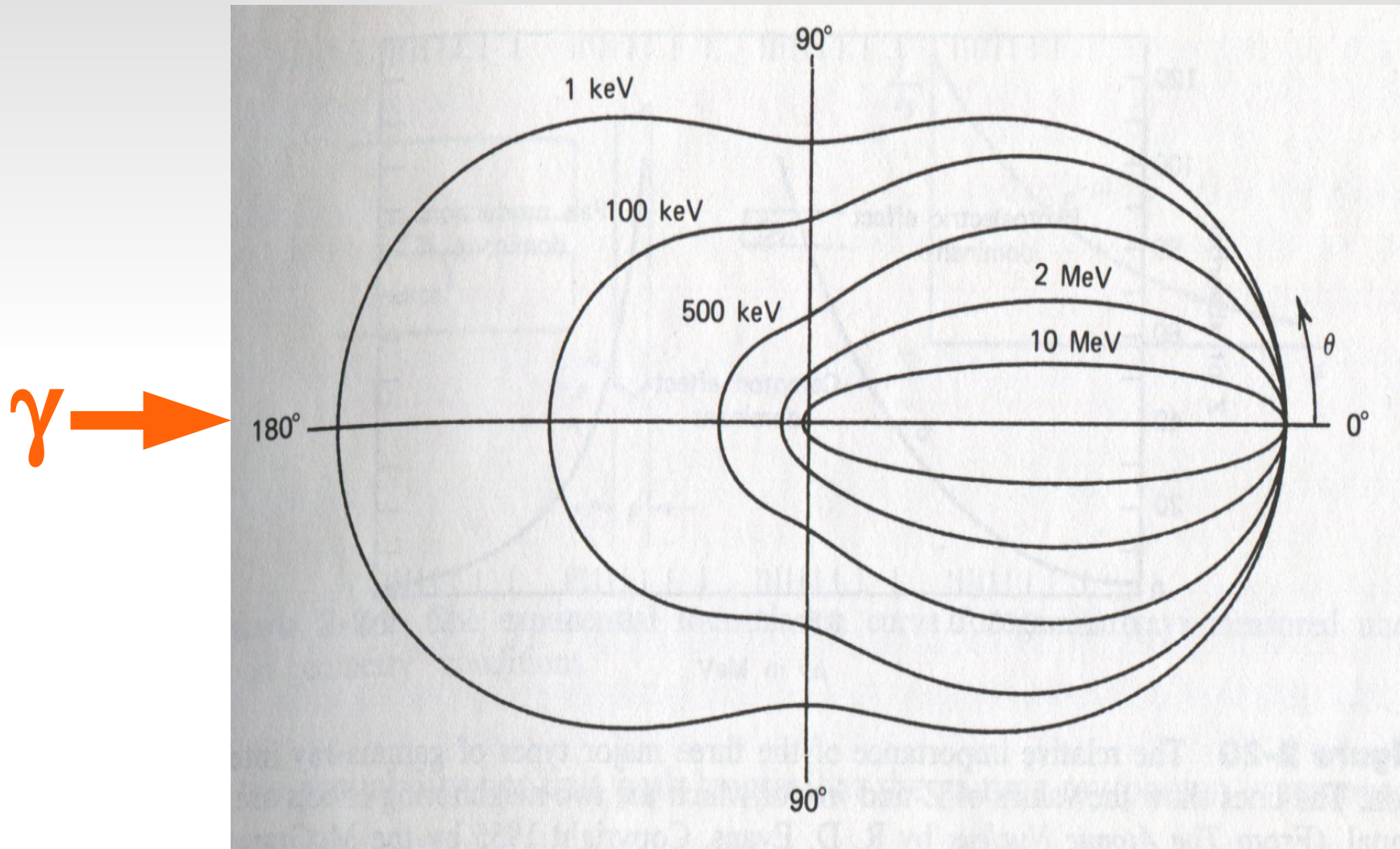


Fig 1.22: Compton-Streuquerschnitt / Elektron

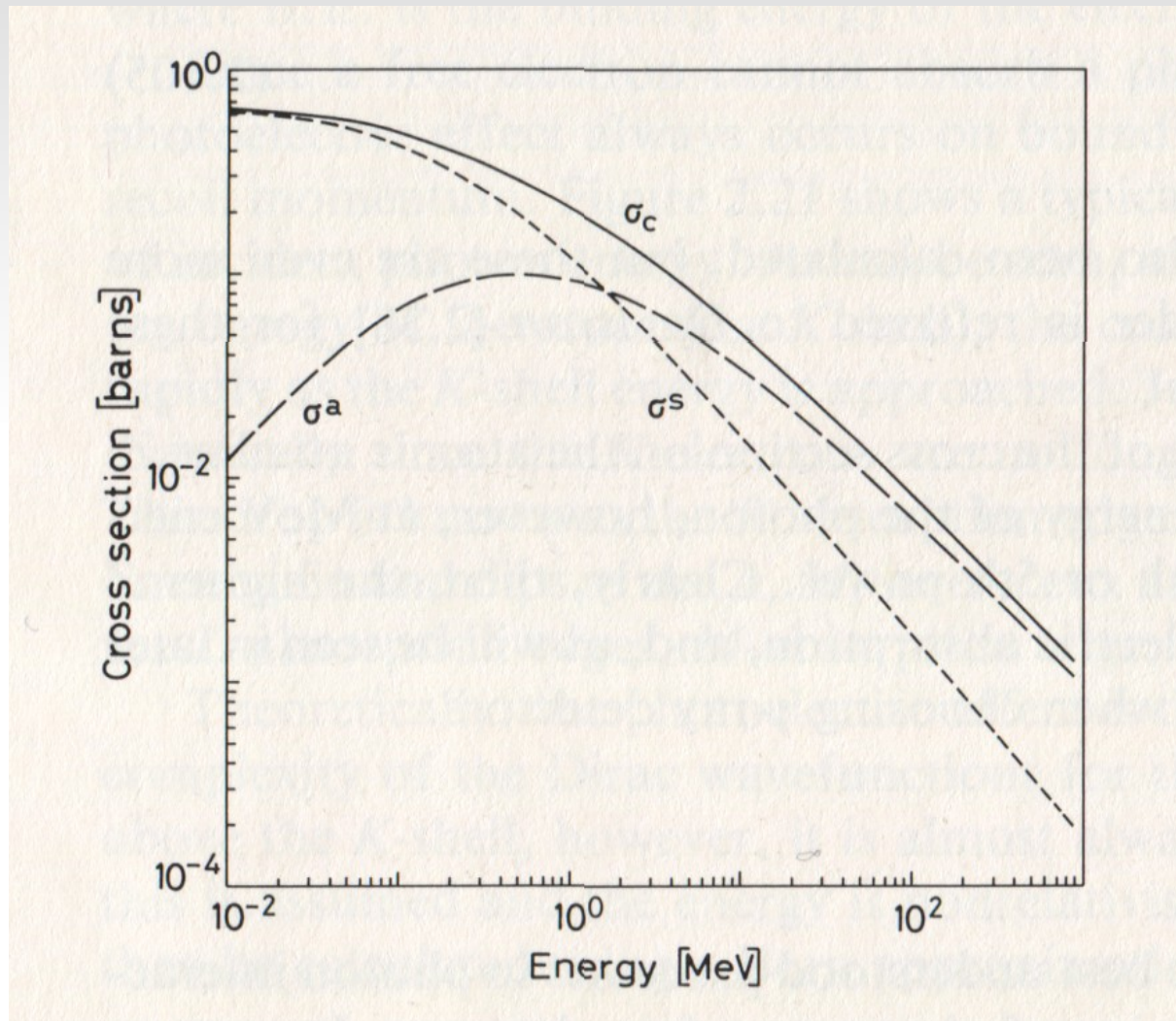


Fig 1.23: Energievtlg. des Compton-Rückstoßelektrons

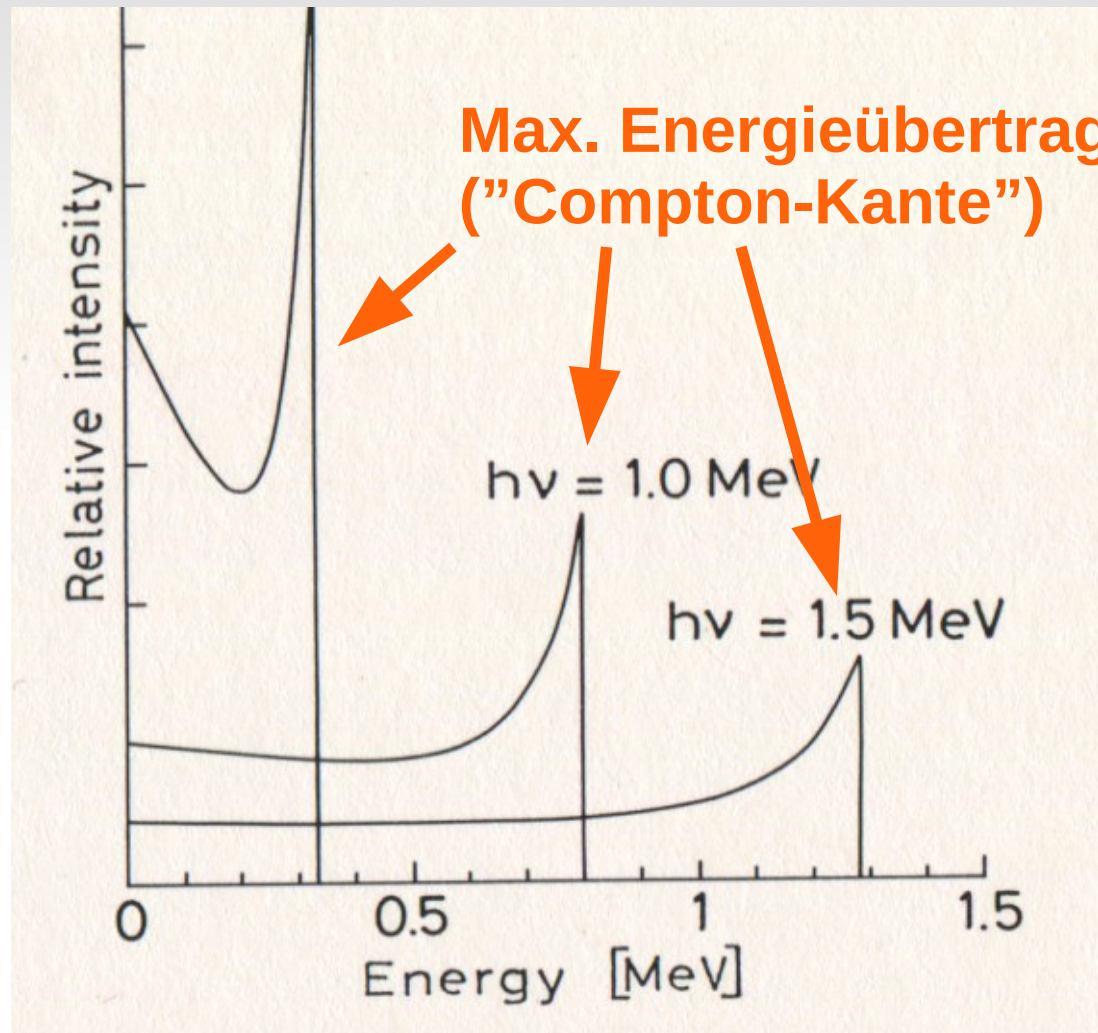


Fig 1.24: Energieabhängigkeit für Paarproduktion

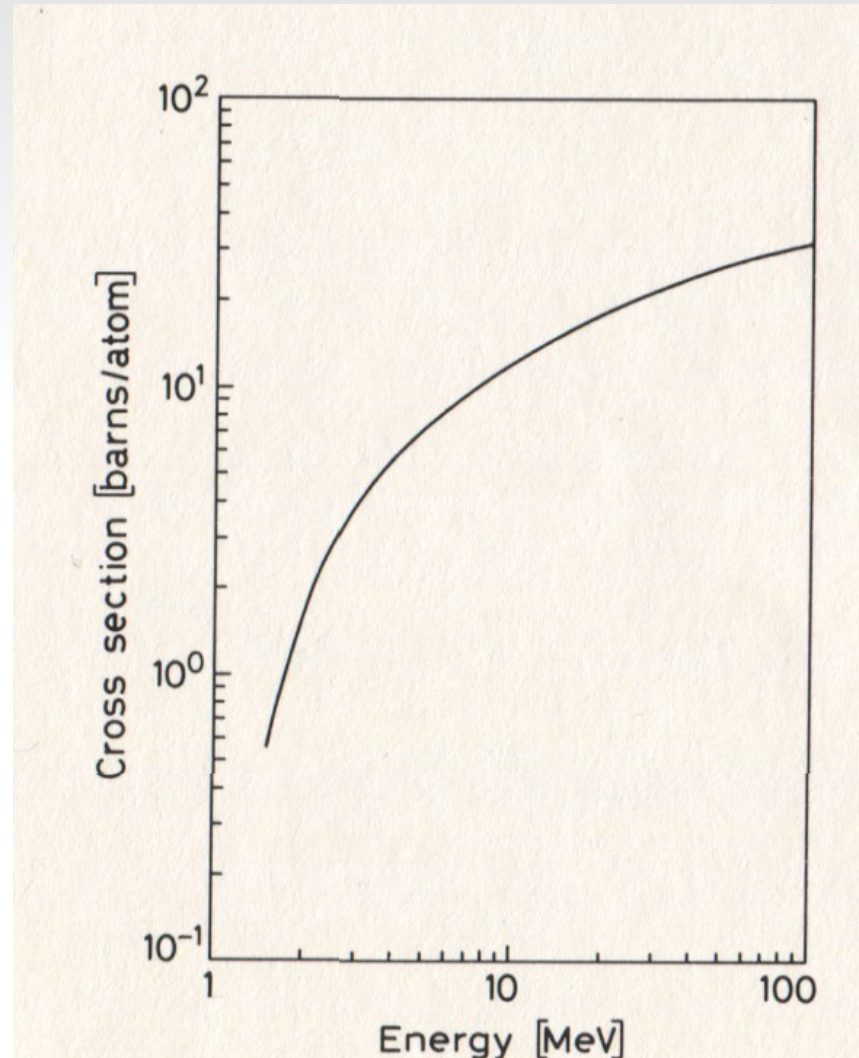


Fig 1.25: e^+/e^- -Asymmetrie bei Paarbildung

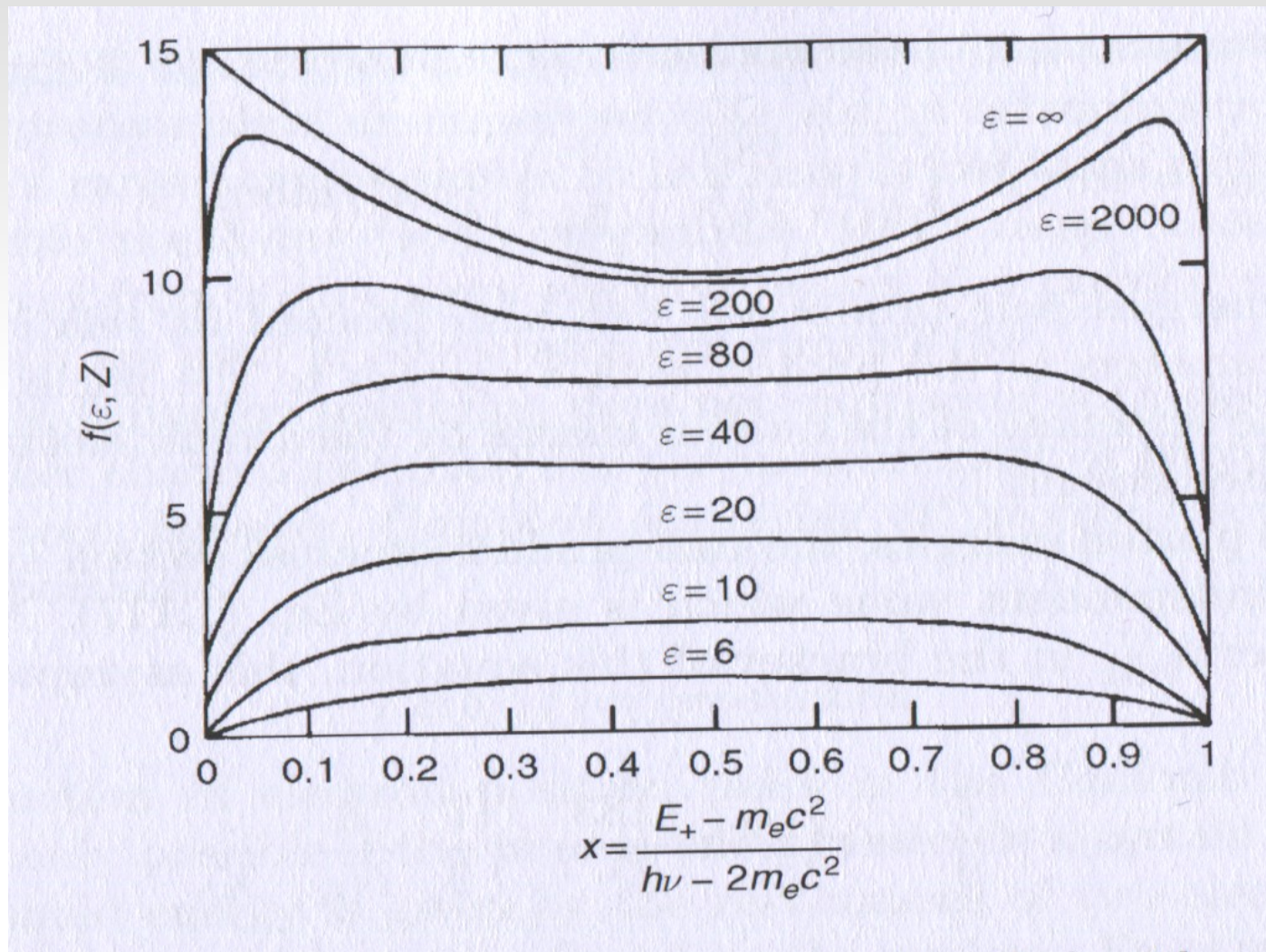


Fig 1.26: Tot. γ -Absorption

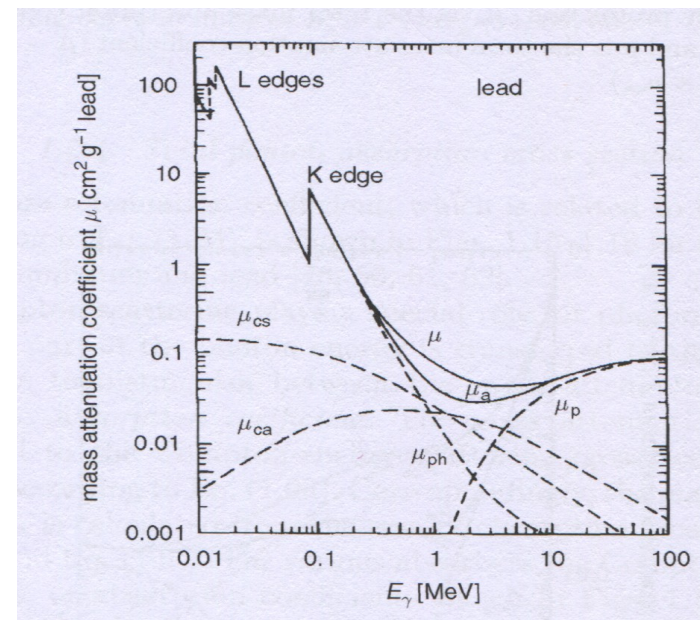
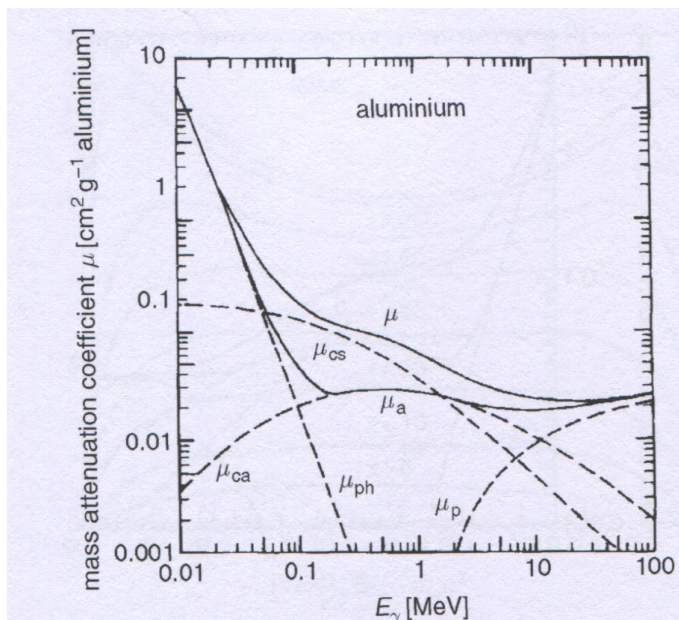
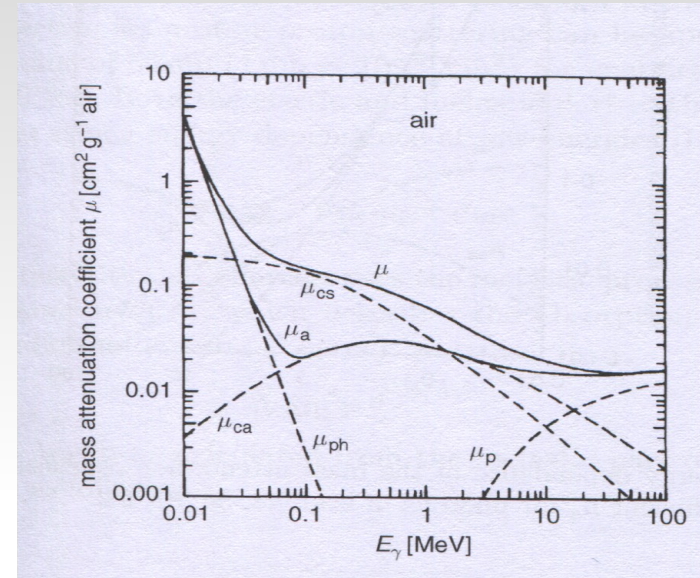
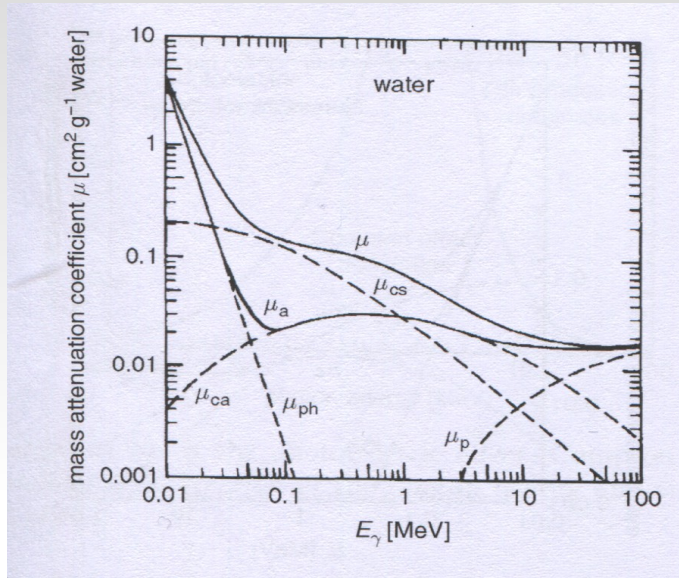


Fig 1.27: dominierende Bereiche für γ -Ww.

